

*CFH<sub>3</sub>*

BP-8448-II

1919

CH<sub>3</sub>F

Moles 8., Batuecast.

TB

J. chim. phys. et phys.-  
chim. biol 1919, 14, 534-88

SHB

$\text{CH}_3\text{F}$  ( $P$ ,  $\Delta H_v$ ) IV-1043

1932

Batuecas T.

J. chim. phys. 1932, 29, 269-72

"Methyl fluoride."

5

(P)

✓

C.A., 1932, 5460

CH<sub>3</sub>F (T<sub>KP</sub>; P<sub>KP</sub>; V<sub>KP</sub>) 1044-IV <sup>1932</sup>

Cawood W., Patterson H.S.

J. Chem. Soc. 1932, 2180-8

"Some physical constants of  
methyl fluoride and the atomic  
weight of fluorine."

(q)

Msc 2

C.A. 1932, 5799

1940

7869 - 11

CH<sub>3</sub>F, C<sub>2</sub>H<sub>5</sub>F (Tb, Tm)

Grosse A.V., Wacker R.C., Linn C.B.  
J.Phys.Chem., 1940, 44, 275-96

Physical propcieties of the ...

Be

7633 - IV

1941

Edgell and Glockler

J. J. Chem. Phys. 9, 484 (1941)

 $\text{CH}_3\text{F}; \Gamma, S^\circ, C_p^\circ$  $\text{CH}_2\text{F}_2; \Gamma, \} C_p^\circ$   
 $\text{CHF}_3; \Gamma, \}$  $\text{CH}_2\text{Br}_2 \} \Gamma, S^\circ, C_p^\circ$   
 $\text{CH}_3\text{I}; \}$ 

Circ. 500

 $\Gamma$  $\phi$

1942

8897 - IV

Seger

1. Angew. Chem. 55, 58 (1942)

 $\text{CH}_2\text{Cl}_2$ ,  $\text{CHCl}_3$ ,  $\text{CFCl}_3$ ,  $\text{CH}_2\text{FCl}, \text{CH}_4$ , $\text{CH}_3\text{F}$ ,  $\text{CH}_2\text{F}_2$ ,  $\text{CHF}_3$ ,  $\text{CF}_4$ ,  $\text{CH}_3\text{Cl}$ , $\text{CHClF}_2$ ,  $\text{CHCl}_2\text{F}$ ,  $\text{CCl}_4$ ,  $\text{CCl}_3\text{F}_3$ ,  $\text{CCl}_2\text{F}_2$ ,

(Tb, Hb, Tkp, Vkp)

Circ. 500 Mx, Be

CH<sub>3</sub>F (P)    BP-1050-IV

1948

Michels A., Wassenaar T.

Physica 1948, 14, 104-10

. Vapor pressure of methyl fluoride."

2. 5

φ

C.A. 1948, 8051 i.

CH<sub>3</sub>F · 6H<sub>2</sub>O ( $\Delta H_f$ ) 8962 - IV - BPP 1949

v. Stackelberg M.

Naturwissenschaften, 1949, 36,  
359-362

Feste Gashydrate

C.A., 1950, 44,  
7107h

$\mu$



err gp. r. ✓ φ

CH<sub>3</sub>F 9269 Cluopel. 20° 57°

1950

Do (CH<sub>3</sub>F, CH<sub>3</sub>Cl, CH<sub>3</sub>Br, CH<sub>3</sub>J, C<sub>2</sub>H<sub>6</sub>, C<sub>2</sub>,  
C<sub>2</sub>H<sub>4</sub>, C<sub>2</sub>H<sub>2</sub>)

Wicke E.

Z. Elektrochem., 1950, 54, 27-33

Theoretical and ~~theor.~~ <sup>theor.</sup> ~~meas.~~ <sup>meas.</sup>

J, M

BDB-1049-IV

1952

$\text{CH}_3\text{F}$

Michels A., Visser A., ugp.

Physica 1952, 18, 114-20

[ $E$ ,  $C_p$ ,  
 $S'$ ]

Isotermes and thermodynamic  
functions .. .

$\text{CH}_3\text{F}(2)$

Luft N. W.

1955

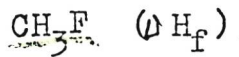
J. Chem. Phys., 23, 973

$\Delta H_{298,16} \approx -60$

согласно измерениям  
Ходзей

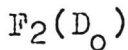
B4P-1323-IV

⊗



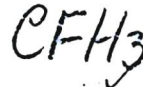
IV-1047

1956



Margrave J.L.

J.Chem.Phys., 1956, 24, N 2, 475-476,  
476-477 (англ)



Применение масс-спектрометрических потенциалов появления для термохимических расчетов. I. Соотношения соответствия для метана и его замещенных и теплота образования  $\text{CH}_3\text{F}$ . II. Хлорфторметаны и энергия диссоциации  $\text{F}_2$ .

РЖХ, 1957, № 1, 78

и

"0"

весь сп.к. 475-76

$\text{CH}_3\text{F}$  ( $\delta$ ,  $\Delta H_f$ ),  $\text{C}_2\text{H}_5\text{F}$  [57-11] 1958

Begeneev B.U., Tsvyashcheva A.N.,

JRC, gnez. 21.III, 1958, 32, №7, 1472-1475  
 $\text{CFH}_3$

Энергия разрыва C-F связей.  $\text{Ca}^{+2}$   
если

PNCh, 1959, №3, №181.

(M)

L

V P

CH<sub>3</sub>F

Farkhat - Aziz, 1961

T<sub>m</sub>,

T<sub>g</sub>,

SHV

Moelwyn-Hughes E.A.

J. Chem. Soc., (Rasoma no  
1961, 1523) (unpublished)

Измерено при 3<sup>х</sup> T-pn для няк CH<sub>3</sub>F

t°C	p <sub>ст</sub> мм рт	[3]	[4]
-82,053	610,9	608,0	615,1
-78,321	755,2	750,8	759,4
-78,274	756,2	752,6	761,3

no Yamany u dñ.

$$T_m = 131,4^\circ\text{K}$$

$$T_b = 195,0^\circ\text{K}$$

$$\Delta H_v = 4,06 \text{ kcal/mole}$$

~~28/11/82~~

- 
- [3] Molog, Batuecas  
J. Chim. Phys., 1919, 17, 537
- [4] Mischals, Wagner an,  
Physica, 1948, 14, 104

1967

$\text{CH}_3\text{F}$ ,  $\text{CH}_3\text{Cl}$ ,  $\text{CH}_3\text{Br}$ ,  $\text{CH}_3\text{I}$ ,  $\text{C}_2\text{H}_5\text{F}$ ,  
 $\text{C}_2\text{H}_5\text{Br}$ ,  $\text{C}_2\text{H}_5\text{Cl}$ ,  $\text{C}_2\text{H}_5\text{I}$ /Cp, S, H<sub>T</sub>-H<sub>O</sub>,  
F<sub>T</sub>-H<sub>O</sub>)

XIV-9777

Kennedy H., Liebnerz J.  
 Industr. and Engns Chem. Fundam.  
 dament. 1967, 6, № 2, 310-313 (анн.)  
 Low temperature thermodynamic  
 functions for isobalanced  
 hydrocarbons

Есть оригинал.

РДНХ Ким, 1969  
 15/5 813

10 (4)

1968

 $\text{CH}_3\text{F}$  $\text{CH}_3\text{F}^-$ 

11 Б37. Полуэмпирические самосогласованные расчеты электронного строения  $\text{CH}_3\text{F}$  и  $\text{CH}_3\text{F}^-$  и их значение для адиабатических электродных процессов, включающих разрыв связей. Hush N. S., Segal G. A. Semi-empirical SCF MO calculations of the electronic structures of  $\text{CH}_3\text{F}$  and  $\text{CH}_3\text{F}^-$  and their significance for adiabatic electrode processes involving bond-breaking. «Discuss. Faraday Soc.», 1968, № 45, 23—29. Discuss., 52—66

Методом полного пренебрежения дифференциальным перекрыванием исследовано электронное строение и геометрия  $\text{CH}_3\text{F}$  и  $\text{CH}_3\text{F}^-$ . При присоединении электрона к  $\text{CH}_3\text{F}$  равновесное расстояние C—F увеличивается лишь на 0,031 Å. Наполовину заполненная орбиталь в  $\text{CH}_3\text{F}^-$  является разрыхляющей между C и F и связывающей.

Пс.  
зюо и  
на

x · 1969 · 11

между F и атомами H. Вследствие увеличения длины связи F—H угол H—C—H возрастает от 109,3 до 114,3°. Показано, что отрицательный заряд в анионе распределен между H и F, при этом атом C обладает небольшим положительным зарядом. На основании полученных результатов обсужден механизм электрохим. восстановления 'алкилгалогенидов, для к-рого постулировано, что первая стадия переноса электрона приводит к образованию молек. аниона. Интерпретировано изменение констант скорости обмена для метилгалогенидов. Аналогичное рассмотрение замещенных галогенидов приводит к предсказанию, что при полном электровосстановлении данного стереоизомера происходит тем более полная конфигурационная инверсия, чем больше атомный номер галогена. Для обмена  $\text{CH}_3\text{F}/\text{CH}_3\text{F}^-$  рассчитанная энергия внутренней перегруппировки при образовании переходного состояния мала (меньше 1 ккал/моль). Обсуждена

возможность полного расчета констант скоростей различных электродных процессов, включающих разрыв связей, для к-рых первой стадией является р-ция типа  $\text{XY} + e(\text{M}) \rightarrow (\text{XY})^-$ . Показано, что это возможно с помощью относительно простых методов, но для точного определения окислительно-восстановительного потенциала первой стадии необходимы более точные методы расчета энергий основного состояния ионов  $(\text{XY})^-$ .

Резюме

$\text{CH}_3\text{F}$ .

Использован б.у.  
Далько В. А.

1972.

( $\Delta H_f$ )

Сб. „Реакт. способи. орг. соєз.”  
7.9, вип2, Тарнів, 1972, 469-511.

(нес  $\text{CH}_3\text{SH}$ , I)

CH3F

1972

(ΔH, D<sub>0</sub>)

130910x Theoretical calculations on sigma-systems. III.  
Alkyl halides and alkanes. Bhattacharyya, Subirnath; Bhau-  
mik, Amiyansu (Dep. Chem., Univ. Coll. Sci., Calcutta, India).  
*Int. J. Quantum Chem.* 1972, 6(5), 935-48 (Eng). Various  
aspects of Del Re's method, its extension, and correlation with  
important properties such as nuclear quadrupole coupling consts.  
and spin-spin coupling consts. are discussed. The Del Re param-  
eters for the C-I bond were evaluated, and those for the C-F bond  
modified. The bond energies and the heats of formation for  
several  $\sigma$ -systems were calcd.; the energies of a "bond-orbital"  
for several alkanes are related to their ionization potentials.

(+9) 11.12 (+14) ΔHf

☒

C.A. 1972, 77, N20

	$\Delta H_f$
$\text{CH}_3\text{F}$	
$\text{CH}_2\text{F}_2$	
$\text{CHF}_3$	
$\text{CF}_3\text{Cl}$	
$\text{CF}_3\text{J}$	
$\text{CF}_2\text{Cl}_2$	
$\text{CH}_3\text{CF}_3$	(u.n.)
$\text{CFCl}_3$	
$\text{CH}_3\text{CF}_2\text{Cl}$	
	$\text{CCl}_3$
	$\text{CH}_3\text{Cl}$
	$\text{CH}_2\text{ClCH}_2\text{Cl}$
	$\text{CH}_2\text{Cl}_2$
	$\text{CHCl}_3$
	$\text{C}_2\text{H}_5\text{Cl}$
	$\text{CH}_3\text{Br}$
	$\text{CH}_2\text{Br}_2$
	$\text{CHBr}_3$
	$\text{C}_2\text{H}_3\text{Br}$
	$\text{CH}_3\text{J}$
	$\text{CH}_2\text{J}_2$
	$\text{CHJ}_3$
	$\text{C}_2\text{H}_5\text{J}$

CH<sub>3</sub>F      A.S. Rodgers, R.C. Wilhoit  
CD<sub>3</sub>T      B.J. Zwolinski

1972

100

(T.g.p)  
"Nat. Bureau Standards -  
- office of Standards reference  
data  
(LHF)  
1972; 41-4E

(cont'd)

1973

30726.8839

TE, Ch, Ph, Ex-  
C

CH<sub>3</sub>F

31603

ν-1167

\*

McKean D.C., Duncan J.L., Batt L.

CH stretching frequencies, bond lengths  
and dissociation energies.

"Spectrochim.acta", 1973, A 29, N 6,  
1037-1049.

(англ.)

0923 ник

906 906 0916

ВИНИТИ

CH3F

Kushawana V.S

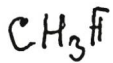
1973

x 51737

"Ind. J. Pure and App. Phys"

(Ch)

1973, 11, N<sup>o</sup> 1, 63-66



1974

Rodgers A.S et. al.

J. Phys and Chem. Ref. Data.,  
1974, 3, N1, 117-140.

$\Delta H_S$ ;  $\Delta H_f$



(in  $\text{CH}_3\text{Cl}$ ;  $\bar{T}$ )

F-CH<sub>3</sub>

OCT. 4824

1925

Ex:

(D<sub>2</sub>)

Kerr J. A., et al.  
HandBook Chem. Phys.,  
55th Ed., 1924-25.

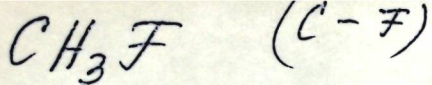
$\text{CH}_3\text{F}$

1977

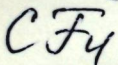
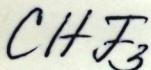
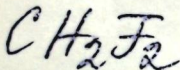
Inel Yuksel

( $\Delta H_f$ ;  $\Delta S$ ) Bogazici Univ. Derg.,  
[Seri] Temel Bilimler,  
Kim., 1976-1977, 4-5, 9-18.

(See  $\text{CH}_3\text{NF}_3$ ) I



1977



87: 207569j Comparative calculation of thermodynamic constants of organic halogen-containing substances. Nikolaev, N. I. (Vses. Nauchno-Issled. Inst. Pererab. Nefti, Moscow, USSR). *Zh. Fiz. Khim.* 1977, 51(8), 2135 (Russ). Std. entropies and heats of formation of halogen- and D-contg. methane derivs. were calcd.

V. Vesely

$\Delta H_f, 5^\circ$



C.A. 1977, 84 126

$\text{CH}_3\text{F}^+$

1977

$\text{CD}_3\text{F}^+$  Rosenstock H. M. et al

J. Phys. Chem. Ref. Data,

1977, 6. Suppl. N<sup>o</sup>, p 1-360

T.G. ObBa

$\text{CH}_3\text{F}$

Lommel 12765 | 1981.

Leroy B; Peeters D.

$\Delta H_f^\circ$ ;

J. Mol. Struct.; 1981,  
85, 133 - 152.

[CH<sub>2</sub>XH]<sup>+</sup>

ОТ. 18084

1983

5 Б1099. Новые газофазные ионы. Радикал-катионы [CH<sub>2</sub>XH]<sup>+</sup>. (X=F, Cl, Br, J, OH, NH<sub>2</sub>, SH) и [CH<sub>2</sub>CH<sub>2</sub>-NH<sub>3</sub>]<sup>+</sup>. Novel gas-phase ions. The radical cations [CH<sub>2</sub>-XH]<sup>+</sup>. (X=F, Cl, Br, I, OH, NH<sub>2</sub>, SH) and [CH<sub>2</sub>CH<sub>2</sub>-NH<sub>3</sub>]<sup>+</sup>. Holmes John L., Lossing F. P., Тег-люу Johan K., Burgers Peter C. «Can. J. Chem.», 1983, 61, № 10, 2305—2309 (англ.; рез. фр.)

При ионизации молекул HOCH<sub>2</sub>CH<sub>2</sub>X, HOOCCH<sub>2</sub>X и OHCCCH<sub>2</sub>X (X=F, Cl, Br, I, OH, NH<sub>2</sub>, SH) получены ионы [CH<sub>2</sub>XH]<sup>+</sup>. (А), отличающиеся от изомерных ионов [CH<sub>2</sub>X]<sup>+</sup> (Б) поведением при соударительной активации. Определены теплоты образования (TO) радикал-катионов А; они близки TO ионов Б за исключением [CH<sub>2</sub>NH<sub>2</sub>]<sup>+</sup>, TO к-рого на 30 ккал/моль выше, чем у соотв-щего иона типа Б. Определены формы и энергии появления метастабильных пиков, отвечающих распаду А. Высказано предположение, что при внутренних

17 76

Х. 1984; 19, N 5

энергиях ниже порога фрагментации (отщепления Н·) ионы А и Б не обладают способностью к взаимопревращению. В то же время отщеплению Н· от А предшествует определяющая скорость всего процесса изомеризация А в Б. Ион  $[\text{CH}_2\text{CH}_2\text{NH}_3]^+$  получен диссоциативной ионизацией  $\text{H}_2\text{NCH}_2\text{CH}_2\text{CH}_2\text{NH}_2$ .

А. Кирюшкин

*CH<sub>3</sub>F*

*077. 17736*

*1983*

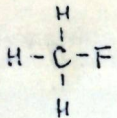
2 Б3089. Изотопный эффект [из-за различия в]  
давлении паров жидкого метилфторида. Vapor pressure  
isotope effects in liquid methyl fluoride. Oi Takaо,  
Shuiman Jan, Popowicz Anthony, Ishida  
Takapobu. «J. Phys. Chem.», 1983, 87, № 16, 3153—  
3160 (англ.)

С помощью дифференциального манометра в прецизионном криостате измерено давл. паров <sup>12</sup>CH<sub>3</sub>F (I), <sup>12</sup>CD<sub>3</sub>F (II) и <sup>13</sup>CH<sub>3</sub>F (III) в т-рном интервале 132,48—213,12 К. Изотопный состав образцов I—III определен с помощью масс-спектрометрии. Результаты приведены в виде табл. давл. пара I—III при соотв-щих т-рах и хорошо описываются соотношениями  $T \ln(f_c/f_g) = (2225,2 \pm 7,4)/T - (4,444 \pm 0,046)$  для эффекта D/H и  $T \ln(f_c/f_g) = (56,8 \pm 2,09)/T - (0,6383 \pm 0,0133)$  для эффекта <sup>13</sup>C/<sup>12</sup>C ( $f_c$  и  $f_g$  — приведенные изотопные коэф. разделения в жидк. и газ. фазах соотв.). Установлено, что для любых т-р давл. I > давл. II и давл. I < давл. III. Результаты рассмотрены с точки зрения внутренних и внешних взаимодействий в жидк. фазе. Л. Г. Титов

*X. 1984, 19, № 2*

СFН<sub>3</sub>

1983



23 Б1159. Кинетика газофазной реакции  $\text{CH}_3\text{F} + \text{J}_2 \rightleftharpoons \text{CH}_2\text{FJ} + \text{HJ}$ ; Энергия диссоциации связи С—Н в метил- и метиленфторидах. Kinetics of the gas-phase reaction  $\text{CH}_3\text{F} + \text{I}_2 \rightleftharpoons \text{CH}_2\text{FI} + \text{HI}$ : The C—H bond dissociation energy in methyl and methylene fluorides. Pickard J. M., Rodgers R. S. «Int. J. Chem. Kinet.», 1983, 15, № 6, 569—577 (англ.)

Кинетические исследования р-ции  $\text{CH}_3\text{F}$  с  $\text{J}_2$  при  $710^\circ\text{C}$ , выполненные спектрофотометрич. методом, согласуются с механизмом процесса включающим стадии  $\text{M} + \text{J}_2 \rightleftharpoons 2\text{J} + \text{M}$ ;  $\text{CH}_3\text{F} + \text{J} \rightleftharpoons \text{CH}_2\text{F} + \text{HJ}$  (р-ции 1 и  $-1$ );  $\text{CH}_2\text{F} + \text{J}_2 \rightleftharpoons \text{CH}_2\text{FJ} + \text{J}$ . Получены колич. параметры этих р-ций:  $\lg k_1$  (л/моль·с) =  $(11,3 \pm 0,1) - (30,8 \pm 0,2)/\theta$ , где  $\theta = 4,575 T/1000$  ккал/моль. Из эксперим. значения энергии активации  $E_1 = 30,8 \pm 0,2$  ккал/моль в предположении, что  $E_{-1} = 1 \pm 1$  ккал/моль и при использовании термодинамич. данных получена величина энергии дис-

D

Энергии связи

X. 1983, 19, N 23

социации связи  $DH^0(CH_3F-H) = 101,2 \pm 1$  ккал/моль. Из кинетич. данных величина энергии связи  $DH^0(CH_2F_2-H) = 103,2 \pm 1$  ккал/моль. Используя лит. данные авторы вычисляют энергии диссоциации связей C—H, C—F и C—Cl в различных фторметанах и влияние на эти величины замещения фтором в  $\alpha$ -положении. Резюме

осое

$\text{CH}_3\text{F}$  (a)

1984

101: 235883h Molecular dynamics simulation of liquid fluoromethane, trifluoromethane, chloromethane, cyanomethane, carbon dioxide, and carbon disulfide with new pair potentials. Boehm, H. J.; Meissner, C.; Ahlrichs, R. (Inst. Phys. Chem. Elektrochem., Univ. Karlsruhe, 7500 Karlsruhe, Fed. Rep. Ger.). *Mol. Phys.* 1984, 53(3), 651-72 (Eng). Results of mol. dynamics simulations are reported for  $\text{CH}_3\text{F}$ ,  $\text{CHF}_3$ ,  $\text{CH}_3\text{Cl}$ ,  $\text{CH}_3\text{CN}$ ,  $\text{CO}_2$  and  $\text{CS}_2$ . The intermol. pair potentials used in these calcns. were derived with a new model which was introduced recently. The calcd. data on thermodn., static structure, self-diffusion coeff. and reorientational correlation times are compared with exptl. and other mol. dynamics results.

(непроверк. и  
gp. cb - fa)

⑦5 ⑧



C. A. 1984, 101, N 26.

$\text{CH}_3X$ ,  $\text{C}_2\text{H}_5X$

1984

u gp.

X-2 AND 2A

103: 110916f Standard enthalpies of formation of some halo--  
substituted methanes, ethanes, and ethylenes. Papina, T. S.;  
Kolesov, V. P. (USSR). *Probl. Kalometrii i Khim. Termodinam.*  
*Dokl. Na 10 Vses. Konf., 12-14 Iyunya, 1984, Cherogolovka 1984,*  
1(Ch 2), 199-201 (Russ). From *Ref. Zh., Khim.* 1985, Abstr. No.  
10B3047. Title only translated.

$\Delta_f H^\circ$

C.A. 1985, 103, N 14.

*CH<sub>3</sub>F*

*1986*

105: 102987f Equation of state of methyl fluoride in the  
gas-liquid critical region. Bominaar, S. A. R. C.; Trappeniers, N.  
J.; Biswas, S. N. (Van der Waals Lab., Univ. Amsterdam, Neth.).  
*Physica B+C (Amsterdam)* 1986, 139-140(1-3), 83-6 (Eng).  
Accurate equation-of-state for CH<sub>3</sub>F in the gas-liq. crit. region were  
obtained from pressure-vol.-temp. measurements done by a combination  
of Burnett and isochoric methods. The measurements were done at  
1-270 bar and 298.15-343.15 K; the max. d. was twice the crit. d.  
The accuracy of the data was estd. to be better than 0.02% in the d.,  
0.01% in the pressure, and 1 mK in the temp.

*Up - II  
completely*

*C.A. 1986, 105, N12,*

*CH<sub>3</sub>F*

DM 27390 1987

4 Б3171. *P, V, T-свойства фтористого метила в критической области газ — жидкость. (P, V<sub>m</sub>, T) properties of methyl fluoride in the (gas+liquid) critical region.* Воминааг S. A. R. C., Biswas S. N., Traperniers N. J., Ten Seldam C. A. «J. Chem. Thermodyn.», 1987, 19, № 9, 959—976 (англ.)

*P, V<sub>m</sub>, T-свойства CH<sub>3</sub>F высокой чистоты определены в интервале т-р 298—343 К и давл. до 29 МПа, охватывающих крит. область. Эксперим. процедура заключалась в определении опорной изотермы при 333,158 К по методике Барнетта и измерении большого числа P(T) изохор с помощью изохорного метода. Вся серия эксперим. результатов в газовой фазе выражена через двойную сумму полиномиального ур-ния, коэф. к-рого табулированы. По оценке точность измерений давл. лучше 0,01%, плотности 0,05%, т-ры 1 мК. Для крит. параметров получено: T<sub>c</sub>=317,4 К, P<sub>c</sub>=5,87 МПа, ρ<sub>c</sub>=9150 моль/м<sup>3</sup>.*

Р. Г. Сагитов

*T<sub>kp</sub>*

X. 1988, 19, N 4

CH3F

ON 27 390 1987

107: 184097u Pressure-volume-temperature ( $p$ ,  $V_m$ ,  $T$ ) properties of methyl fluoride in the (gas + liquid) critical region. Bominaar, S. A. R. C.; Biswas, S. N.; Trappeniers, N. J.; Ten Seldam, C. A. (Van der Waals Lab., Univ. Amsterdam, Neth.). *J. Chem. Thermodyn.* 1987, 19(9), 959-76 (Eng). The ( $p$ ,  $V_m$ ,  $T$ ) properties of pure CH3F were measured at 298 to 343 K and at pressures up to 29 MPa, covering the complete (gas + liq.) crit. region. The exptl. procedure consisted of the detn. of a ref. isotherm at 333.158 K by the Burnett method of repeated expansions and the measurement of a large no. of  $p(T)$  isochores by the so-called isochoric method. The anal. of the Burnett results was based on polynomial representations of the exptl. values by a least-squares anal. and examg. the consistency of the resulting coeffs. The complete set of exptl. ( $p$ ,  $V_m$ ,  $T$ ) results in the gas phase was fitted into a double polynomial equation, the coeffs. of which are given in tabulated form. The accuracy of the measurements is estd. to be better than 0.01% in the pressure, 0.05% in the d., and 1 mK in the temp.

( $p$ - $V$ - $T$ )

C.A. 1987, 107, n 20

$\text{CH}_3\text{F}(2)$

Lau $\ddot{\text{s}}$ . 25819

1987

Nakashima K.,

Takeyama N.,

"aq H;" Mururoe kazaku kaisei,  
J. Chem. Soc. Jap., Chem.  
and Ind. Chem., 1987,

N2, ● 131 - 139.

$\text{CFH}_3$

1987

Von Bergen Rafael A.,  
Cipollini Luisa.

Бергеманнсай А. Р. Квим., Сер. А.  
Химический 1987, 83 (3), 322-9.

(сес.  $\text{CH}_3\text{Cl}$ ;  $\frac{\text{I}}{\text{II}}$ )

*CH<sub>3</sub>F*

*1988*

6 Л262. Спектроскопия «изолированных в матрице» молекул CH<sub>3</sub>F в газовой фазе. The gas phase «matrix isolation» spectroscopy of CH<sub>3</sub>F / Celii F. G., Janda K. C. // Z. Phys. D.— 1988.— 10, № 2—3.— С. 347—360.— Англ.

*M. N.*

С помощью перестраиваемого CO<sub>2</sub>-лазера получены в ИК-области спектры фотодиссоциативного распада ван-дер-ваальсовских комплексов, образующихся в сверхзвуковой струе в смеси CH<sub>3</sub>F с Ne, Ar, Kr, Xe, N<sub>2</sub> и CH<sub>4</sub>. Комpleксы возбуждались в области полосы поглощения моды ν<sub>3</sub> CH<sub>3</sub>F, продукты распада ионизировались электронным ударом и детектировались квадрупольным масс-спектрометром. Установлена кластерная природа комплексов, состоящих из молекулы CH<sub>3</sub>F в окружении *n* атомов или молекул буферных газов. Показано, что в зависимости от выбора газа и условий расширения струи величина *n* колеблется от единиц до

*φ. 1989, №*

нескольких десятков. В случае Ag при промежуточных размерах  $n$  обнаружено резкое сужение фотодиссоциативного спектра, приписанное образованию кластеров правильной икосаэдрич. структуры с молекулой  $\text{CH}_3\text{F}$  в центре. Результаты сопоставлены со спектрами поглощения  $\text{CH}_3\text{F}$  в газовой фазе и в матрицах инертных газов при низких температурах. Библ. 59. Е. Н. Т.



*CH<sub>3</sub>F*

*1988*

(Δ<sub>f</sub>H)

(H) D

C.A. 1988, 109, N 14

109: 117212f New electronegativity scale for the correlation of heats of formation. 1. Alkyl derivatives. Luo, Yu Ran; Benson, Sidney W. (Donald P. and Katherine B. Loker Hydrocarbon Res. Inst., Univ. South. California, Los Angeles, CA 90089-1661 USA). *J. Phys. Chem.* 1988, 92(18), 5255-7 (Eng). A quant. linear relation is reported between the differences in std. heats of formation [ $\Delta_f H^\circ(RX) - \Delta_f H^\circ(CH_3X)$ ] ≡  $\Delta\Delta_f H^\circ(RX/CH_3X)$  and  $V_z$ , the unshielded core potential of X:  $\Delta\Delta_f H^\circ(RX/CH_3X) = I_m + S_m V_z$  (eq 4). Here R is  $CH_{3-m}(CH_3)_m$ , which are taken to be Et, iso-Pr, and *tert*-Bu when  $m = 1, 2$ , and  $3$ , resp. X is a halogen atom, OH, SH, NH<sub>2</sub>, H, or CH<sub>3</sub>, and  $V_z = n_z/r_z$  where  $n_z$  is the no. of valence electrons in the bonding atom in X and  $r_z$  Å is its covalent radius.  $V_z$  was first proposed by Yuan as a measure of electronegativity of the elements. The slope  $S_c$  and intercept  $I_c$  in this relation can be related to  $m_c$ . For the 23 compds. available, av. deviations are 0.3 kcal/mol with 1 max. deviation of 1.9 kcal/mol. In all cases, the exptl. uncertainties exceed the deviations. The relation can be used to est. values of  $\Delta_f H^\circ$  for other elements and groups where data on  $\Delta_f H^\circ(MeX)$  are known. With  $\Delta_f H^\circ(MeF) = 55.9 \pm 0.5$  kcal/mol, values are estd. for  $\Delta_f H^\circ$  of EtF, *i*-PrF, and *t*-BuF.

*C<sub>2</sub>H<sub>3</sub>F*

$\text{CH}_3\text{F}$  1990  
Francisco J.S., Zhao Yao.

$\Delta H_f$  J. Chem. Phys. 1990.  
93, N/Z. C. 9203-9205.

(cor.  $\text{HCO}$ ; I)

*CH<sub>3</sub>F*

*1990*

22 Б1345. Субмиллиметровая спектроскопия чисто вращательных переходов в колебательном состоянии  $v_6 = 1^{12}$  CH<sub>3</sub>F. Submillimetrewave spectroscopy of the pure rotational transitions in the  $v_6 = 1$  vibrational state of  $^{12}\text{CH}_3\text{F}$ : [Прер.] Austr.-Hung. Conf. Recent Develop. Infrared and Raman Spectrosc., Veszprém, Apr. 18—20, 1990 / Papousek D., Pracna P., Tesar R., Belov S. P., Tretyakov M. Yu. // Vibr. Spectrosc.— 1990.— 1, № 2.— С. 167—171.— Англ.

*М.Н.*

На субмиллиметровом (СММ) РАД-спектрометре в области частот 200—609 ГГц с точностью около 0,1 МГц измерен вращат. спектр  $^{12}\text{CH}_3\text{F}$  в дважды вырожденном колебат. состоянии  $v_6 = 1$ . Идентифицировано 119 вращат. переходов  $\Delta J = +1$ ,  $\Delta K = 0$ ,  $\Delta l = 0$  со значениями вращат. квантового числа вплоть до  $J \leq 11$ . Анализ СММ-спектра выполнен с учетом квартичного

*X.1991, N 22*

и секстичного центробежного искажения, вз-вий «2,2»  $l$ -типа и  $\Delta k = \pm 4$  типа с использованием результатов ранее выполненных СММ-измерений. Полученные СММ-данные удовлетворительно согласуются со спектроскопич. данными др. авторов. Окончат. значения спектроскопич. параметров будут сообщены после одновременной обработки микроволновых, СММ- и ИК-данных с использованием усовершенствованного гамильтониана.

С. Н. Мурзин

$\text{CHF}_3$

1991

Rubio Ramon G.,  
Zollweg John A., et al.

PVT-garrecole J. Chem. Eng. Data  
1991, 36 (2), 171-84.

(c.c.  $\text{CF}_4$ ;  $T$ )

CH<sub>3</sub>F

[Om. 38186]

1995

Berry R.Y., Burgess D.R.F.,  
et al.,

(ΔH<sub>f</sub>)

J. Phys. Chem., 1995, 99,  
N47, 17145-17150

*CH<sub>3</sub>F(17)*

1995

122: 275420v Isobaric specific heat capacity of difluoromethane at pressure up to 0.5MPa. Kubota, H.; Sotani, T.; Kunimoto, Y.

(Dep. Chem. Sci. Eng., Kobe Univ., Kobe, Japan 657). *Fluid Phase Equilib.* 1995, 104, 413-19 (Eng). A new flow calorimeter for the accurate measurement of isobaric sp. heat capacities of gases was constructed. Measurements of the sp. heat capacity of difluoromethane were carried out in the temp. range from 303-343K and pressures to 0.5MPa. To confirm the reliability of this exptl. app., measurements were also performed on carbon dioxide at 298-342 K. The heat capacity data obtained agreed with those given in the IUPAC Tables with max. deviation of 1.53%.

*(C<sub>p</sub>)*

C.A. 1995, 122, N 22

CH<sub>3</sub>F

[Dm. 38141].

1995

Liebman J.F., Martinko  
Simões J.A., et al.,

4H

Struct. Chem., 1995,  
6, N<sub>1</sub>) 65-69

ОМ 38457.

1996

F: CH<sub>3</sub>F

P: 1

16Б188. Теоретическое значение энталпии образования метилфторида.  
Theoretical value of the enthalpy of formation of methyl fluoride / Espinosa-Garcia  
J. [Chemical Physics Letters] // Chem. Phys. Lett. - 1996. - 250, N 1. - С. 71-74. -  
Англ.

Приближение МПЧ, квадратичный метод КВ и метод связанных кластеров  
использованы также как и изогирическая реакция (CH[3]F+3H C+F+3H[2]), и  
реакция гидрирования (CH[3]F+H[2] CH[4]+FH), для расчета энталпии  
образования CH[3]F. Исходя из хорошо установленной энталпии  
образования молекулы FH оценено качество использованного базиса и  
уровень учета корреляционной энергии. Рассчитанное значение  
'ДЕЛЬТА'Н[f][,298К] равно -57,4'+-1,2 ккал/моль ('ДЕЛЬТА'Н[f,0К]=-55,5'+-  
'1,2).

РНСХ 1997

*CH<sub>3</sub>F*

*OT 38457*

*1996*

*(Δ<sub>f</sub> H<sub>298</sub>)*

124: 243708v Theoretical value of the enthalpy of formation of methyl fluoride. Espinosa-Garcia, J. (Departamento de Quimica Fisica, Universidad de Extremadura, Badajoz, Spain 06071). *Chem. Phys. Lett.*, 1996, 250(1), 71-4 (Eng). The enthalpy of formation of CH<sub>3</sub>F was theor. estd. by using data for the isogyric and hydrogenation reactions. Energy differences were computed at four levels of calcn., by using the MP4, QCI and CC methods and two extended basis sets. By using the well-established enthalpy of formation of the FH mol., the quality of the basis sets and energy correlation levels were tested. The value obtained was ΔH<sub>f,298 K</sub> = -57.4 ± 1.2 kcal/mol (ΔH<sub>f,0 K</sub> = -55.5 ± 1.2).

*C.F. 1996, 124, n°18*

*CH<sub>3</sub>F*

*1996*

11Б2276. Индуцированные светом неравновесные эффекты в газах. Light induced nonequilibrium effects in gases / Schramm B., Wörner T. // Ber. Bunsen-Ges. phys. Chem.— 1996 .— 100, № 10 .— С. 1684—1690 .— Англ.

Отмечается, что возможно нарушить равновесное распределение скоростей молекул в газе с помощью лазерного облучения. Это приводит к явлениям переноса, индуцир. светом. Рассмотрены теор. основы эффектов вязкого течения, индуцир. светом, и дрейфа молекул и атомов, индуцир. светом. Приведены результаты измерений разности давл. в газах, вызванные вязким течением, индуцир. лазерным излучением. С помощью дрейфа, индуцир. светом, разделены две модификации CH<sub>3</sub>F с разными ядерными спинами.

В. Ф. Байбуз

*x. 1997, N 11.*

1997

F: CH<sub>3</sub>F

P: 3

22Б1441. Диодно лазерные измерения коэффициентов уширения гелием полосы 'ню'[6] {13}CH[3]F. Diode-laser measurements of He-broadening coefficients in the 'ню'[6] band of {12}CH[3]F / Grigoriev I. M., Bouanich J.-P., Blanguet G., Walrand J., Lepere M. // J. Mol. Spectrosc. - 1997. - 186, 1. - C. 48-53. - Англ.

ФХЛХ, 1998, №22

F: CH3F

P: 1

2001

135:24954 Theoretical Calculation of Bond Dissociation Energies and Enthalpies of Formation for Halogenated Molecules. Lazarou

Yannis G.; Prosmitis, Alexandros V.; Papadimitriou, Vassileios C.; Papagiannakopoulos, Panos. Institute of Physical Chemistry, National Center for Scientific Research Demokritos, Aghia Paraskevi, Greece.

J. Phys. Chem. A (2001), 105(27), 6729-6742. in English.

The bond dissociation energies and the enthalpies of formation of halogenated mols. were theor. calcd., and the results were compared with the corresponding exptl. values in order to examine the reliability of a large no. of levels of theory in thermochem. calcns. D: functional theory using a multitude of exchange and correlation functionals, Moller-Plesset perturbation theory, and QCISD(T) and CCSD(T) methods were employed, with all-electron and effective-core potential basis sets of varying complexity. A small set of 19-mols. was selected, consisting of X<sub>2</sub>, HX, and CH<sub>3</sub>X (X = F, Cl, Br, and I), the mixed-halogen mols. ClF, BrF, BrCl, IF, and ICl, and H<sub>2</sub> and CH<sub>4</sub>. The calcd. bond dissociation energies were cor. for basis set superposition errors and the first-order spin-orbit coupling in the 2P state of halogen atoms. In addn., the enthalpies of formation of all mols. in the set as well as those of Me (CH<sub>3</sub>) and halomethyl radicals (CH<sub>2</sub>X) were also calcd. by using the corresponding atomization reactions, cor. for the spin-orbit coupling in the 3P state of carbon atom and the 2P state of halogen atoms. Levels of theory employing the B3P86 functional with moderately large basis sets, augmented with diffusion and polarization functions, were found to

be sufficiently reliable in the calcn. of bond dissociation energies of closed-shell halogenated mols.. In particular, the B3P86/6-311++G(2df,p) level of theory was found to be the most accurate, with an RMS deviation of 6 kJ·mol<sup>-1</sup> for 23 bond dissociation energies, with a negligible dependence of the accuracy on the level of theory chosen for the geometry optimization. In addn., the B3P86 functional in combination with small basis sets was found to be superior to B3LYP and MP2 in the calcn. of mol. structures. Regarding the calcd. enthalpies of formation, G2 theory was the most accurate, with an RMS deviation of 9 kJ·mol<sup>-1</sup>, followed by several combinations of the B3PW91 and B3LYP functionals with mostly large basis sets. However, the B3P86 functional tends to overbind open-shell species, resulting in an underestimation of the enthalpies of formation for polyat. mols. Extension of the bond dissociation energy calcns. at levels of theory employing the B3P86 functional to a larger set of 60 bonds in 41 halogen-contg. mols. revealed systematic errors dependent on the mol. size. Therefore, the calcd. bond dissociation energies at the B3P86/6-311++G(2df,p) level of theory were empirically improved by increasing the abs. energies of the radicals by the quantity  $9 \times 10^{-5} \cdot N_e$  Hartrees ( $N_e$  = total no. of electrons of the radical), with a subsequent lowering of the RMS deviation in the larger set to 8.0 kJ·mol<sup>-1</sup>.